

Antibacterial and antioxidant activity of oil-in-water nanoemulsion of *Mentha pulegium* essential oil and extract

Ashgan Zandiye¹, Negar Motakef Kazemi¹, Nabi Shariatifar², Ali Salimi³, Raheleh Halabian⁴

¹ Department of Medical Nanotechnology, Faculty of Advanced Sciences and Technology, Tehran Medical Sciences, Islamic Azad University, Tehran, Iran.

² Department of Environmental Health Engineering, School of Public Health, Tehran University of Medical Sciences, Tehran, Iran.

³ Nanobiotechnology Research Center, Baqiyatallah University of Medical Sciences, Tehran, Iran.

⁴ Applied Microbiology Research Center, Systems Biology and Poisonings Institute, Baqiyatallah University of Medical Sciences, Tehran, Iran.

Abstract

Background: The medical application of oil-in-water nanoemulsion has been expanded due to its special properties. Nanoemulsions based on medicinal plants are important because of the simple and fast preparation method, high efficiency, and economic efficiency.

Materials and methods: In this study, the oil-in-water nanoemulsion was prepared containing *Mentha pulegium* essential oil as the oil phase, *Mentha pulegium* extract as the aqueous phase, and span 80 surfactant for 30 minutes using homogenizer. The properties of samples were investigated. Chitosan was used as the natural biological material to modify the optimal nanoemulsion due to its biocompatibility, biodegradability, and antibacterial properties. The samples were evaluated by methods of dynamic light scattering (DLS) to investigate size and size distribution, transmission electron microscopy (TEM) to measure size and shape, and zeta potential to determine stability. Antibacterial activity, antioxidant activity, and cytotoxicity of the samples were investigated.

Results: The results of the antibacterial activity of the essential oil, its extract, and nanoemulsions against gram-negative bacteria escherichia coli (*E.Coli*) and gram-positive bacteria staphylococcus aureus (*S.Aureus*) showed that these materials are suitable candidates instead of chemical drugs to deal with strains. The antioxidant activity of the samples was observed based on the measurement of total phenolic compounds and free radical inhibition. Also, the samples are not cytotoxic on healthy cells.

Conclusion: Based on the results, oil-in-water nanoemulsion containing essential oil as the oily phase and extract as the aqueous phase can be suitable candidates for pharmaceutical and medical applications.

Keywords: Nanotechnology, Nanoemulsion, *Mentha pulegium*, Extract, Essential oil.

Cited as: Zandiye A, Motakef Kazemi N, Shariatifar N, Salimi A, Halabian R. Antibacterial and antioxidant activity of oil-in-water nanoemulsion of *Mentha pulegium* essential oil and extract. Medical Science Journal of Islamic Azad University, Tehran Medical Branch 2024; 33(4): 355-364.

Correspondence to: Dr. Negar Motakef Kazemi

Tel: +98 2122006660

E-mail: motakef@iaups.ac.ir

ORCID ID: 0000-0002-2161-2941

Received: 2 Jun 2023; **Accepted:** 13 Aug 2023

فعالیت ضدبacterی و ضداسیدانی نانومولسیون روغن در آب اسانس و عصاره پونه

اشگان زندیه^۱، نگار معتکف کاظمی^۱، نبی شریعتی فر^۲، علی سلیمی^۳، راحله حلبیان^۴

^۱ گروه نانوفناوری پزشکی، دانشکده علوم و فناوری‌های نوین، علوم پزشکی تهران، دانشگاه آزاد اسلامی، تهران، ایران

^۲ گروه بهداشت محیط، دانشکده بهداشت، دانشگاه علوم پزشکی تهران، تهران، ایران

^۳ مرکز تحقیقات نانوبیوتکنولوژی پزشکی دانشگاه بقیه الله (عج)، تهران، ایران

^۴ مرکز تحقیقات علوم میکروبی، دانشگاه بقیه الله (عج)، تهران، ایران

چکیده

سابقه و هدف: کاربرد پزشکی نانومولسیون روغن در آب بهدلیل خواص ویژه گسترش یافته است. نانومولسیون‌ها بر پایه گیاهان دارویی بهدلیل روش تهیه ساده و سریع، کارایی بالا، و صرفه اقتصادی مهم هستند.

روش بررسی: در این پژوهش نانومولسیون روغن در آب حاوی اسانس پونه بهعنوان فاز روغنی، عصاره پونه بهعنوان فاز آبی، و سورفتانت اسپن ۱۰ به مدت ۳۰ دقیقه توسط هموژنایزر تهیه شد. خواص نمونه‌ها مورد بررسی قرار گرفت. کیتوزان بهدلیل زیست سازگاری، زیست تخریب پذیری، و خواص ضدبacterی بهعنوان نانومولسیون بهینه استفاده شد. نمونه‌ها با روش‌های پراکندگی نور دینامیکی (DLS) جهت بررسی اندازه و توزیع اندازه، میکروسکوپ الکترونی عبوری (TEM) برای سنجش اندازه و شکل، و پتانسیل زتا برای تعیین پایداری ارزیابی شدند. فعالیت ضدبacterی، فعالیت ضداسیدانی، و سمیت سلولی نمونه‌ها بررسی شد.

یافته‌ها: نتایج فعالیت ضدبacterی اسانس، عصاره، و نانومولسیون‌ها علیه باکتری گرم منفی اشرشیاکلی (*E.Coli*) و باکتری گرم مثبت استافیلوکوکوس اورئوس (*S.Aureus*) نشان داد که این مواد کاندید مناسب بجای داروهای شیمیایی جهت مقابله با سویه‌ها هستند. فعالیت ضداسیدانی نمونه‌ها بر اساس سنجش ترکیبات فنولی تمام و مهار ادیکال آزاد مشاهده شد. همچنین نمونه‌ها سمیت سلولی روحی سلول‌های سالم ندازند.

نتیجه‌گیری: بر اساس نتایج، نانومولسیون روغن در آب حاوی اسانس بهعنوان فاز روغنی و عصاره بهعنوان فاز آبی می‌تواند کاندید مناسبی برای کاربردهای دارویی و پزشکی باشد.

وازگان کلیدی: نانوفناوری، نانومولسیون، پونه، عصاره، اسانس.

مقدمه

مورد مطالعه گسترده قرار گرفته‌اند (۲، ۳). نانومولسیون‌ها بهعنوان واسطه امولسیون‌ها و میکرومولسیون‌ها معمولاً در محدوده اندازه ۲۰ تا ۵۰ نانومتر در نظر گرفته می‌شوند (۴-۶). اندازه کوچک نانومولسیون می‌تواند باعث افزایش نفوذ یا جذب توسط سلول‌ها شود (۷). طبقه‌بندی اصلی نانومولسیون شامل روغن در آب یا آب در روغن است (۸-۱۰). اجزای امولسیون شامل بخش چربی دوست در فاز روغنی و بخش آبدوست در فاز آبی در حضور امولسیفاریر جهت حفظ پایداری است. اندازه قطرات تولیدی در نانومولسیون وابسته به ترکیب اجزا و روش همگن‌سازی است. نانومولسیون‌ها را می‌توان با روش‌های امولسیون‌سازی با انرژی

نانوفناوری در زمینه‌های مختلف پیشرفت چشمگیر دارد. در طول سال‌های گذشته، میکرومولسیون‌ها بهدلیل ویژگی‌های منحصربه‌فرد مانند سهولت در آماده‌سازی، شفافیت و پایداری طولانی مدت توجه زیادی را به خود جلب کرده‌اند (۱). در سال‌های اخیر نانومولسیون‌ها بهدلیل کاربردهای بالقوه در صنایع مختلف مانند مواد غذایی، آرایشی، دارویی و کشاورزی

آدرس نویسنده مسئول: تهران، گروه بهداشت محیط، دانشکده بهداشت، دانشگاه علوم پزشکی تهران.

نگار معتکف کاظمی (email: motakef@iaups.ac.ir)

ORCID ID: 0000-0002-2161-2941

تاریخ دریافت مقاله: ۱۴۰۲/۲۳/۱۲

تاریخ پذیرش مقاله: ۱۴۰۲/۵/۲۲

در این پژوهش نانومولسیون حاوی عصاره و اسانس پونه تهیه و فعالیت ضدبacterی، ضداسیدانی، و سمیت سلولی آن مورد ارزیابی قرار گرفت.

مواد و روشهای

مواد و تجهیزات

نمونه برداری از گیاه پونه از مناطق بکر پلکو از توابع شهرستان سنگر در استان گیلان انجام شد و پس از تائید در بخش هرباریوم دانشگاه علوم پزشکی آزاد اسلامی تهران AUPF-۱۶۳۴ در سایه و به دور از نور مستقیم خورشید و در شرایط استاندارد خشک شد. اسپن ۸۰ و کیتوزان از مرک (آلمان) خردباری شد.

دستگاه هموژنایزر مدل Heidolph ساخت کشور آلمان برای تهیه نانومولسیون استفاده شد. اسپکتروفوتومتر مدل 30 GENESYS ساخت کشور آمریکا استفاده شد. دستگاه پراکنده نور دینامیکی مدل Quadix ساخت کشور کره جنوبی برای ارزیابی اندازه و توزیع اندازه نانومولسیون استفاده شد. میکروسکوپ الکترونی عبوری مدل Zeiss-EM10C-100 KV ساخت کشور آلمان برای بررسی شکل و اندازه نانومولسیون استفاده شد.

مقاله مستخرج از پایان نامه با کد اخلاق IR.IAU.PS.REC.1398.064 است.

روش‌ها

اسانس‌گیری

برای اسانس‌گیری ابتدا ۱۰۰ گرم از گیاه پونه در یک بالن ۲ لیتری ریخته و به آن کمی بیشتر از نصف حجم بالن آب اضافه شد. سپس با دستگاه کلونجر عمل اسانس‌گیری با اعمال حرارت به مدت ۳ ساعت تا زمان ثابت ماندن سطح اسانس انجام شد. در نهایت آبگیری اسانس توسط سولفات سدیم اندیز برای افزایش کیفیت انجام شد و نمونه نهایی در ظرف شیشه‌ای درب بسته و با فویل پوشیده در یخچال نگهداری شد.

عصاره‌گیری

برای عصاره‌گیری پودر گیاه پونه با نسبت ۱ نمونه به ۱۰ حلال در یک بالن ژوژه ریخته و به مدت ۶ ساعت در دمای ۸۰ درجه سانتی گراد و دور چرخش ۷۰۰ rpm حرارت داده شد. سپس عصاره با کاغذ صاف صاف شده و تا زمان استفاده در یخچال نگهداری می‌شود. لازم به ذکر است که اگر حلال آب باشد عصاره آبی، و اگر ۸۰ درصد متانول باشد عصاره متانولی است. تهیه عصاره فراکشن متانولی مشابه عصاره متانولی است با این تفاوت که به مدت ۴۸ ساعت تحت همزدن در دما محیط و دور از نور قرار داده شد. سپس مخلوط صاف شده و در ظرفی درب دار

بالا یا انرژی کم تهیه کرد. هموژنایزر فشار بالا یکی از روشهای پر انرژی برای تشکیل نانومولسیون‌ها است (۱۱، ۱۲). نانومولسیون‌ها به دلیل اندازه کوچک مزایایی مانند شفافیت نوری بالاتر، پایداری بالاتر و فراهمی زیستی افزایش یافته ترکیبات چربی دوست دارند (۱۳)، با این حال، کاربرد پژوهشی نانومولسیون به دلیل خطرات بالقوه مانند سمیت برخی از اجزا به عنوان مثال سورفتانت‌ها، امکان استفاده برخی از ترکیبات زیست فعال و اثرات نامطلوب بر سلامت انسان محدود می‌شود (۱۴، ۱۵).

امروزه نانوفناوری در کاربردهای ضدبacterی به عنوان رویکردی برای حذف یا کاهش فعالیت میکرووارگانیسم‌ها گسترش یافته است (۱۶، ۱۷). گیاهان دارویی به عنوان عامل ضدبacterی طبیعی برای افزایش اثربخشی و مهار رشد باکتری استفاده می‌شوند (۱۸، ۱۹). به کارگیری اسانس به عنوان ترکیب طبیعی مستخرج از گیاه با فعالیت ضدمیکروبی برای پاسخ به نگرانی‌های مصرف کننده جهت اینمی افودنی‌های خوراکی مصنوعی به شدت افزایش یافته است (۲۰). کاربرد اسانس‌ها در نانومولسیون‌ها با کاربرد ضدبacterی جایگاه ویژه‌ای دارد (۲۱-۲۲). اسانس‌ها به عنوان مواد فرار می‌توانند خواص درمانی و دارویی ایجاد کنند (۲۴). گسترش کاربرد ضداسیدانی ترکیبات گیاهی (۲۶) و نانوماد (۲۷) برای جلوگیری از اکسیداسیون واکنش شیمیایی با توانایی تولید رادیکال‌های آزاد و ایجاد واکنش‌های زنجیره‌ای با امکان آسیب به سولولهای موجودات زنده حائز اهمیت است (۲۸). سمشناسی نانوماد عبارت از مطالعه برهم‌کنش‌های این مواد با سامانه‌های زیستی برای ارائه رابطه‌ای منطقی بین ویژگی فیزیکوشیمیایی و پاسخ‌های زیستی آن‌ها می‌باشد. فعالیت زیستی و سمیت نانوماد ارتباط مستقیم با ویژگی‌های فیزیکوشیمیایی مانند اندازه، شکل، نسبت سطح به حجم، تراکم، نقص‌های سطحی و ساختاری دارد (۲۹).

امروزه ترکیبات گیاهی با توجه به نگرانی‌ها در ارتباط با داروهای شیمیایی به طور ویژه‌ای مورد توجه قرار گفته است. گیاه پونه با نام علمی *Mentha pulegium* و نام محلی خالوش یکی از گونه‌های خانواده نعناعیان است و کاربردهای فراوان به عنوان تسهیل کننده فرآیند قاعدگی، مسکن، مُدرِّ، مُرقِّ، و باد شِکن معده دارد (۳۰). وجود ترکیبات فنولی به خصوص ترکیبات فلاونوئیدی در این گیاه باعث خواص بالقوه مذکور و خاصیت ضداسیدانی می‌شود (۳۱-۳۳). امروزه کاربرد زیست پژوهشی نانومولسیون‌ها بر پایه گیاهان به دلیل خواص منحصر به فرد گسترش یافته است (۳۴-۳۹). از این رو

پلیت‌های ۹۶ خانه استفاده شده است. پس از مشخص شدن مقدار بهینه در تست MIC، در تست MBC یک دوز بالاتر انتخاب می‌شود. در این تحقیق از روش چاهک گذاری استفاده شد. برای این کار در ابتدا در دو پلیت حاوی محیط کشت مولو هیلتون آگار به صورت جداگانه، به کمک سر سملپر آبی و با رعایت فواصل کافی چاهک ایجاد شد، سپس باکتری‌های مورد نظر را با رعایت تمام موارد ایمنی در این دو پلیت به صورت جداگانه و به روش کشت چمنی کشت شد. پس از این کار برای باکتری E.Coli مقدار ۴۰ μL از انسانس، عصاره‌ها و نانومولسیونها به همراه ۱۶۰ μL آب مقطر مخلوط و درون هر چاهک ریخته شد و همین کار را برای باکتری S.Aureus انجام شد با این تفاوت که مقدار ماده موثره و مقدار آب مقطر اضافه شده به ترتیب ۵۰ و ۱۲۰ میکرولیتر بوده است. دلیل اضافه کردن آب مقطر نیز جلوگیری از خشک شدن سریع نمونه‌های درون چاهک پس از گذاشتن نمونه‌ها درون انکوباتور ۳۷ درجه سانتیگراد می‌باشد.

بررسی فعالیت ضداکسیدانی

بررسی فعالیت ضداکسیدانی با اندازه‌گیری ترکیبات فنولی تام و ارزیابی فعالیت مهار رادیکال آزاد DPPH-1-(2,2-diphenyl-1-picrylhydrazyl) انجام شد. میزان ترکیبات فنولی تام را با روش فولین سیوکالتو اندازه‌گیری شد و نتایج برحسب میلی‌گرم اسید گالیک در گرم عصاره بیان شد. اساس کار در این روش، احیاء معرف فولین توسط ترکیبات فنولی در محیط قلیایی و ایجاد کمپلکس آبی رنگ است که حداقل جذب را در طول موج ۷۶۰ نانومتر نشان می‌دهد. به طور خلاصه در این روش، ۲۰ میکرولیتر از محلول عصاره درون لوله آزمایش با ۱/۱۶۰ میلی‌لیتر آب مقطر و ۱۰۰ میکرولیتر معرف فولین سیوکالتو مخلوط شدند. بعد از ۲۰ دقیقه ۱ تا ۸ دقیقه ۳۰۰ میکرولیتر محلول کربنات سدیم (۰٪ وزنی/حجمی) به محتوای لوله آزمایش افزوده شد. لوله‌های آزمایش بعد از تکان دادن و پس از گذشت ۳۰ دقیقه در تاریکی جذب آنها با دستگاه اسپکتروفوتومتر در طول موج ۷۶۰ نانومتر خوانده شد.

میزان فلاونوئید تام به روش رنگ سنجی آلومینیوم کلرید اندازه‌گیری شد. اصول روش رنگ سنجی آلومینیوم کلرید، تشکیل کمپلکس‌های اسیدی آلومینیوم کلرید با گروه کتو و یا گروه هیدروکسیل فلاونوئیدها است که این ترکیبات بیشترین جذب را در طول موج ۴۱۵ نانومتر دارند. در این روش میزان ۰/۵ میلی‌لیتر از محلول عصاره با ۱/۵ میلی‌لیتر اتانول٪/۹۵٪. میلی‌لیتر آلمینیم کلراید ۱۰٪/۱ میلی‌لیتر استات پتاسیم یک مولار و ۲/۸ میلی‌لیتر آب مقطر مخلوط گردید. بعد از نگهداری نمونه‌ها در دمای اتاق به مدت ۳۰ دقیقه، جذب مخلوط در ۴۱۵

نگهداری شد و بار دیگر به آن متابول اضافه و روند ذکر شده به مدت ۴۸ ساعت دیگر تکرار شد. سپس مخلوط صاف شده و هر دو عصاره با یکدیگر مخلوط شده و درون روتاری تحت شرایط خلاء و در دمای ۵۰ درجه سانتیگراد قرار داده تا به پودر همان فراکشن متابولی تبدیل شود. سپس برای بدست آوردن فراکشن آبی ابتدا ۱۰ گرم از پودر متابولی تام را درون ارلن ۵۰۰ میلی‌لیتر ریخته و به آن ۲۰۰ میلی‌لیتر ان هگزان اضافه شد و به مدت ۲۴ ساعت تحت همزدن بدون دما قرار گرفت. سپس ۲۰۰ میلی‌لیتر حاصله را با کاغذ صافی شده و به مواد باقیمانده میکرولت دی کلرومتان افزوده و به مدت ۲۴ ساعت همزده و سپس صاف شد. سپس به آن اتیل استات افزوده و همین روند تکرار شد. در نهایت به همین روش با اضافه کردن آب مقطر عصاره حاصله فراکشن آبی خواهد بود.

تهیه نانومولسیون

سه ماده اساسی شامل فاز پیوسته، فاز پرآکنده و سورفکتانت برای تهیه نانومولسیون نیاز است. بر اساس نتایج قبل نسبت‌های مختلف اجزای نانومولسیون‌ها ارزیابی و گزارش شد (۳۴). به منظور تهیه نانومولسیون از ۲ میلی‌لیتر اسپن ۸۰ به عنوان سورفکتانت، ۴۴ میلی‌لیتر عصاره پونه به عنوان فاز پیوسته، و ۴ میلی‌لیتر انسانس پونه به عنوان فاز پرآکنده با دستگاه هموژنایزر به مدت ۳۰ دقیقه با دور ۱۹۰۰ rpm استفاده شد. مراحل تهیه نانومولسیون حاوی کیتوزان مشابه قبل است با این تفاوت که در حضور محلول یک درصد کیتوزان و یک درصد اسیداستیک است. در نهایت نمونه‌ها شامل انسانس (E.O)، عصاره آبی (W.E)، S1 (E.O)، S2 عصاره متانولی (S3.M.E)، S4(W.F)، فراکشن آبی (S5.M.F)، نانومولسیون عصاره آبی (S6.W.E.N)، نانومولسیون عصاره متانولی (S7.N.M.E)، نانومولسیون فراکشن آبی (S8.N.W.F)، نانومولسیون فراکشن متانولی (S9.N.M.F)، و نانومولسیون عصاره آبی با کیتوزان (S10.W.E.N.CH) ارزیابی شدند.

بررسی فعالیت ضدباکتری

فعالیت ضدباکتری علیه باکتری گرم منفی و باکتری گرم مثبت استافیلوکوکوس/اورئوس بدست آمده از دانشگاه آزاد اسلامی بررسی شد. برای انجام تست MIC ابتدا مقدار ۱۰۰ میکرولیتر محیط کشت را درون هر چاهک ریخته سپس به هر چاهک مقدار ۱۰ میکرولیتر باکتری فعال شده افزوده و در ادامه ۳ غلظت متفاوت از انسانس، عصاره و نانومولسیون‌ها اضافه می‌کیم. در نهایت پلیت‌ها را درون انکوباتور شیکردار گذاشته و بعد از طی ۲۴ ساعت جذب نوری آنها را در طول موج nm ۶۲۰ خواندیم به دلیل تعداد بالای نمونه‌ها در ۳ غلظت متفاوت و ۳ بار تکرار از

به عنوان نشانگر سلول‌های زنده مورد استفاده قرار می‌گیرد. بدینهیه است که با افزایش غلظت رنگ تولید شده در سلول‌ها، میزان جذب خوانده شده در دستگاه الایزا رایدر افزایش می‌یابد.

در این پژوهش سلول‌های فیبروبلاست جنینی موش برای بررسی سمیت سلولی استفاده شد. ابتدا محیط کشت روی سلول‌ها توسط سپلر خالی شد. سپس ته فلاسک را با ۴ میلی لیتر مخلوط PBS/EDTA شست و شو داده شد. در مرحله سوم به آنها مقدار ۰,۵ میلی لیتر آنزیم تریپسین مستقیماً به ته فلاسک اضافه کرده و فلاسک را به صورت عدد ۸ انگلیسی حرکت داده و مدت زمان کوتاهی آن را درون انکوباتور گذاشته شد. سپس فلاسک خارج و محتویات آن را درون یک فالکون ۱۵ میلی لیتری ریخته شد. در مرحله چهارم فالکون را درون دستگاه سانتریفیوژ گذاشته و پس از تنظیم کردن دستگاه (به مدت ۵ دقیقه، ۱۲۰۰ دور در دقیقه) روشن شد. در مرحله پنجم، به دلیل نیروی گریز از مرکز سلول‌ها در ته فالکون تنهشین شدند، به همین دلیل ابتدا سطح رویی را به آرامی خالی شد و سپس مقداری محیط کشت DMEM و یا FBS به آن اضافه شد تا آنزیم تریپسین خنثی شود. در مرحله ششم، مقداری محیط کشت غنی شده (Pen/Strep) و FBS به آن اضافه شد. مرحله هفتم، در ادامه مقدار ۱۰۰ μL محیط کشت دارای سلول، مقدارهای ۵۰، ۲۰، ۱۰، ۲ μL از نمونه‌ها که بیانگر غلظت‌های ۱۰، ۲۰، ۵۰ $\mu\text{g}/\text{ml}$ را باشند را درون چاهک‌های پلیت ریخته و در نهایت پلیت‌ها را درون انکوباتور ۳۷ درجه همراه با 5CO_2 درصد گذاشته تا تست سمیت سلولی آن‌ها را در روزهای ۳ و ۵ انجام شود. برای انجام تست MTT ابتدا محیط کشت رویی را کاملاً خالی و سپس به هر یک از چاهک‌ها ۱۰۰ میکrolیتر MTT رقیق شده اضافه و به مدت ۳ ساعت پلیت را درون انکوباتور گذاشته شد. سپس پلیت را بیرون آورده و محیط حاوی MTT رقیق شده به دقت و با سپلر خالی کرده و ۱۰۰ میکrolیتر DMSO به هر چاهک اضافه شد و پیپتاژ کرده و بعد از چند دقیقه میزان جذب آن را به کمک دستگاه الایزا در طول موج بین ۵۷۰ تا ۶۳۰ نانومتر با ارتباط مستقیم با تعداد سلول‌های زنده بررسی شد.

تحلیل آماری

کلیه آزمون‌ها به صورت Triplicate و با ۳ مرتبه تکرار به انجام رسیدند. نتایج به دست آمده و میزان بقای سلولی به صورت میانگین \pm انحراف معیار (mean \pm SD) مورد استفاده قرار گرفت. در آنالیز واریانس، با دامنه طبیعی‌سازی و خطای معیار و معنی‌داری با اختلاف در سطح $p < 0.05$ و $p < 0.01$ در نظر گرفته شد.

نانومتر خوانده شد. از کوئرستین به منظور رسم منحنی استاندارد استفاده شد و نتایج بر حسب میلی‌گرم کوئرستین در ۵۰ گرم پودر خشک گیاه پونه بیان شد.

۲-۲ دی‌فیل_۱ پیکریل‌هیدرازیل یا DPPH، رادیکال چربی دوستی است که دارای جذب بیشینه در طول موج ۵۱۷ نانومتر است. در آزمون DPPH، گروههای هیدروکسیل ترکیبات آنتی-اکسیدانی با دادن H به رادیکال‌های آزاد DPPH منجر به کاهش مولکول‌های DPPH می‌شوند که با تغییر رنگ محلول واکنش از رنگ بنفش تیره به زرد روشن همراه است. در نتیجه جذب در طول موج ۵۱۷ نانومتر کاهش می‌یابد. جذب در طول موج ۵۱۷ نانومتر بیانگر مقدار DPPH باقیمانده است. برای این منظور، محلولهایی با غلظت‌های مختلف (۵۰، ۷۵، ۱۰۰، ۲۵۰، ۵۰۰ میکروگرم در میلی‌لیتر) از عصاره و نیز آنتی‌اکسیدان سنتزی (Butylated hydroxytoluene) BHT در حلal متابولول آماده شدند. یک میلی‌لیتر از محلول متابولول DPPH (با غلظت یک میلی‌مولار معادل با ۰,۳۹۴ میلی‌گرم) به ۳ میلی‌لیتر از عصاره افزوده و مخلوط حاصله به شدت همزده شد. لولهای آزمایش به مدت ۳۰ دقیقه در محل تاریک قرار گرفتند. بعد از این مدت، میزان جذب در طول موج ۵۱۷ نانومتر خوانده شد لازم به ذکر است که در نمونه کنترل، عصاره با ۳ میلی‌لیتر متابولول جایگزین شد. در نهایت درصد مهار رادیکال‌های DPPH توسط عصاره با فرمول زیر محاسبه می‌شود:

$$\text{I \%} = \frac{(\text{Ac} - \text{As})}{\text{Ac}} \times 100$$

که در این رابطه Ac و As به ترتیب جذب کنترول و جذب نمونه است.

بررسی سمیت سلولی

سمیت سلولی پس از کشت سلول و خواندن میزان جذب نوری سلول‌ها توسط دستگاه الایزا رایدر انجام شد. آزمایش MTT یک روش رنگ سنجی جهت ارزیابی فعالیت متابولیک سلولی است. به عبارت دیگر اساس این روش مبتنی بر فعالیت میتوکندری می‌باشد. فعالیت میتوکندری در سلول‌های زنده به صورت پایدار است و بنابراین افزایش یا کاهش تعداد سلول‌های زنده به صورت خطی با فعالیت میتوکندری در ارتباط است. رنگ تترازولیوم MTT در سلول‌های فعل (به لحاظ متابولیکی)، احياء می‌شود. دهیدروژنازهای میتوکندریایی در سلول‌های زنده، حلقه تترازولیوم را شکسته و با تولید NADPH و NADH منجر به تشکیل رسوب نامحلول ارغوانی رنگ به نام فورمازان می‌شوند. این رسوب می‌تواند توسط ایزوپروپانول یا دی‌متیل سولفواکسید (DMSO) حل شود. از سوی دیگر، سلول‌های مرده، چنین توانایی را نداشته و بنابراین واکنشی را نشان نمی‌دهند. در این روش، تشکیل رنگ

یافته‌ها و بحث

بررسی اندازه

(شکل ۳). بر اساس نتایج نانوذرات کروی شکل مشاهده شد.

فعالیت ضدبacterی

حداقل غلظت مهار کنندگی نمونه‌ها برای باکتری‌های *E.Coli* و *S.Aureus* انجام شد (شکل ۴) و بر اساس نتایج بهترین غلظت مهار کننده برای باکتری *E.Coli* غلظت ۵ $\mu\text{g}/\text{ml}$ و برای باکتری *S.Aureus* غلظت ۱۰ $\mu\text{g}/\text{ml}$ می‌باشد.

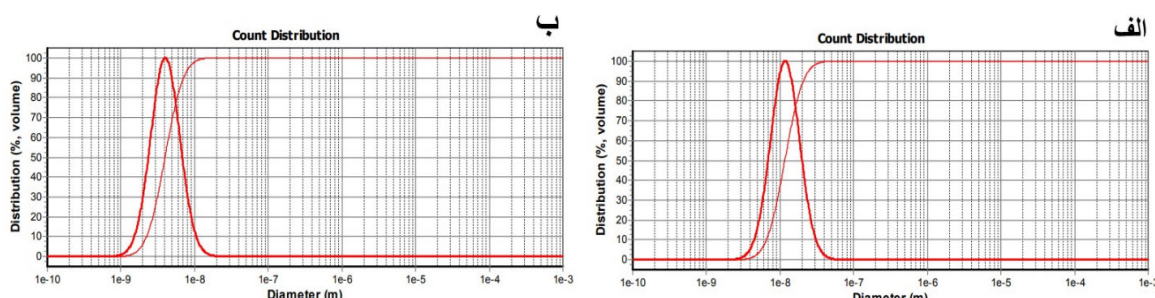
حداقل غلظت کشندگی نمونه‌ها برای باکتری‌های *E.Coli* و *S.Aureus* مورد سنجش قرار گرفت (شکل ۵) و بر اساس نتایج بهترین غلظت مهار کننده برای باکتری *E.Coli* غلظت ۱۰ و برای باکتری *S.Aureus* غلظت ۲۰ $\mu\text{g}/\text{ml}$ است.

اندازه و توزیع اندازه نانومولسیون‌ها با روش پراکنده‌گی دینامیک نوری بررسی شد (جدول ۱). بر اساس نتایج نانومولسیون بهینه بر اساس اندازه و پایداری و عدم جدایش فازی نانومولسیون آبی و نانومولسیون آبی با کیتوزان با توزیع اندازه باریک هستند (شکل ۱). حضور کیتوزان باعث کاهش اندازه شده است، که احتمالاً به دلیل بار کیتوزان و افزایش پایداری نانومولسیون است. نتایج مoid گزارش قبل است (۳۴).

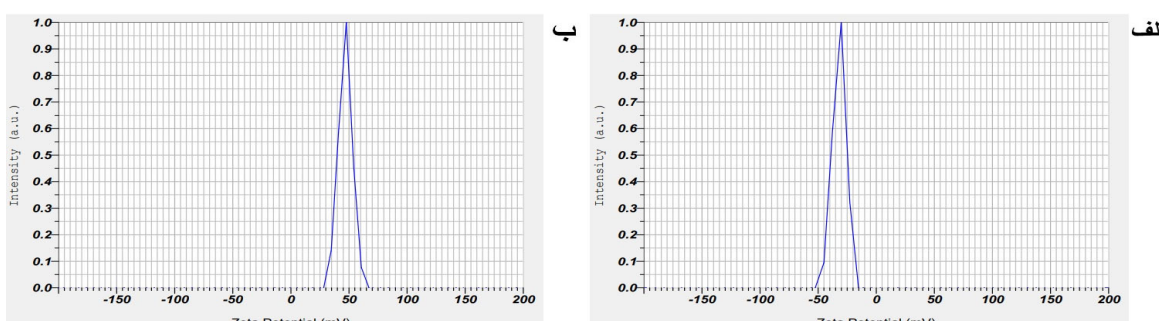
پایداری نانومولسیون توسط پتانسیل زتا بررسی شد. پتانسیل زتا برای نانومولسیون آبی و نانومولسیون آبی با کیتوزان به ترتیب برابر با -31.7 و -46.9 میلی ولت است (شکل ۲). از این رو افزودن کیتوزان باعث افزایش پایداری نانومولسیون شده است. شکل و اندازه نانومولسیون آبی و نانومولسیون آبی با کیتوزان توسط میکروسکوپ الکترونی عبوری بررسی شد

جدول ۱. نتایج DLS برای نانومولسیون‌ها

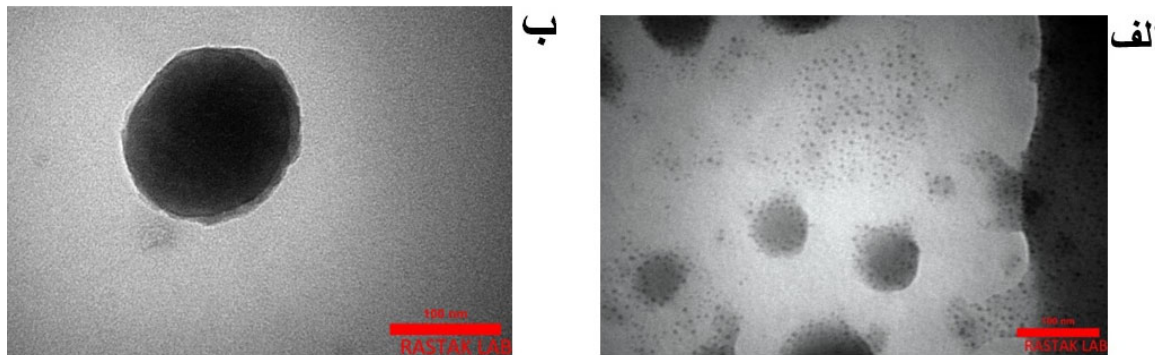
نمونه	نانومولسیون آبی	نانومولسیون متابولی	نانومولسیون آبی	نانومولسیون متابولی	نانومولسیون آبی	اندازه (nm)
کیتوزان ۱٪	۷/۲۳	۸۱/۴	۶/۳۸	۱۹۸	۲۱/۶	



شکل ۱. نمودار DLS (الف) نانومولسیون آبی و (ب) نانومولسیون آبی با کیتوزان.

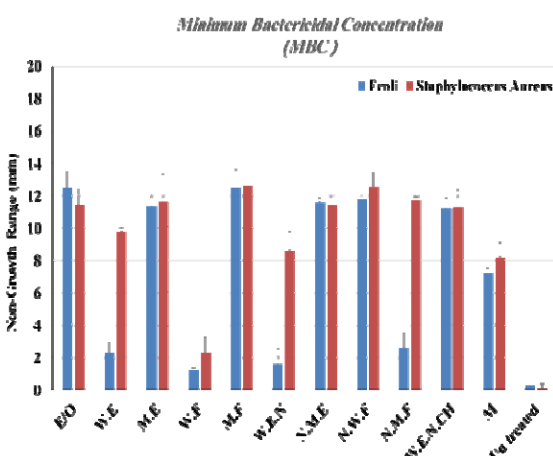


شکل ۲. نمودار پتانسیل زتا (الف) نانومولسیون آبی و (ب) نانومولسیون آبی با کیتوزان.



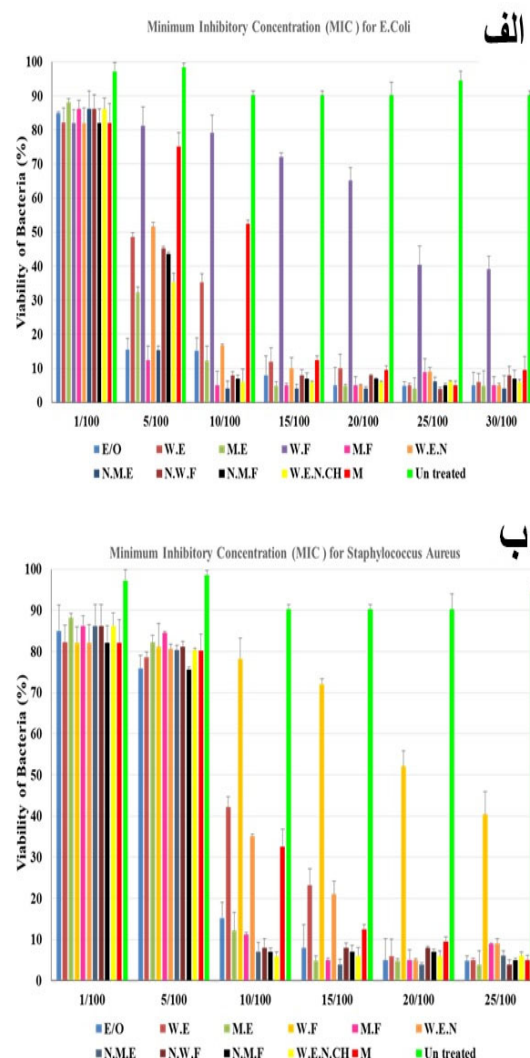
شکل ۳. تصویر TEM (الف) نانومولسیون آبی و (ب) نانومولسیون آبی با کیتوزان.

گالیک اندازه‌گیری شد (شکل ۶). بر اساس نتایج عصاره مтанولی بدست آمده در روش حمام روغن دارای بیشترین میزان ترکیبات فنولی بوده و با این که اسانس این گیاه دارای مقدار قابل ملاحظه‌ایی از ترکیبات فنولی است، اما در مقایسه با میزان همین مواد در عصاره مтанولی بدست آمده در روش حمام روغن بسیار کمتر است.

شکل ۵. نتایج MBC برای باکتری‌های *S.Aureus* و *E.Coli*

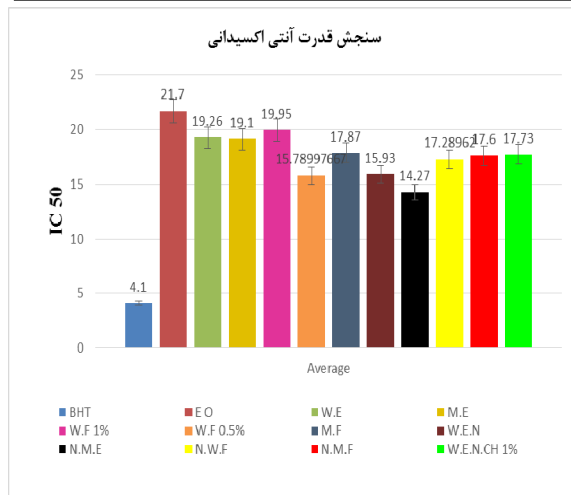
برای سنجش ترکیبات فلاونوئیدی تام از روش رنگ سنجی آلومینیوم کلراید با منحنی استاندارد کوئرسین استفاده شد و میزان جذب نمونه‌ها را در ۴۱۵ نانومتر بررسی شد (شکل ۷). بر اساس نتایج بین عصاره‌ها، عصاره مтанولی و فراکشن مtanولی و در بین نانومولسیون‌ها نانومولسیون با فراکشن مtanولی دارای بیشترین میزان ترکیبات فلاونوئیدی است.

سنچش قدرت ضدآکسیدانی با استفاده از مهار ادیکال آزاد به کمک روش DPPH با بررسی جذب نوری نمونه‌ها در طول موج ۵۱۷ نانومتر ارزیابی شد (شکل ۸). بر اساس

شکل ۴. نتایج MIC برای باکتری (الف) *E.Coli* و (ب) *S.Aureus*

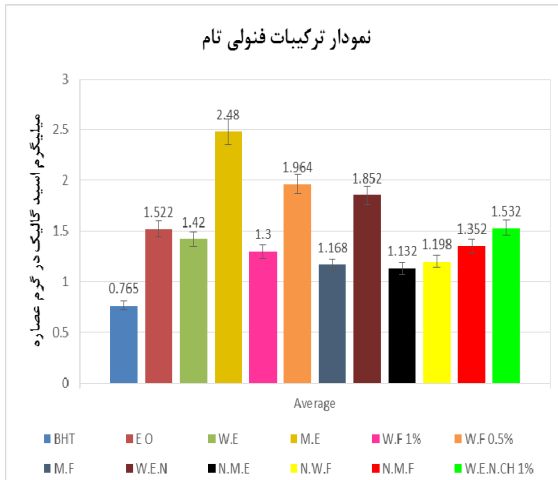
فعالیت ضدآکسیدانی

برای سنجش ترکیبات فنولی تام، میزان جذب نمونه‌ها پس از آمده سازی در ۷۶۰ نانومتر با منحنی استاندارد اسید

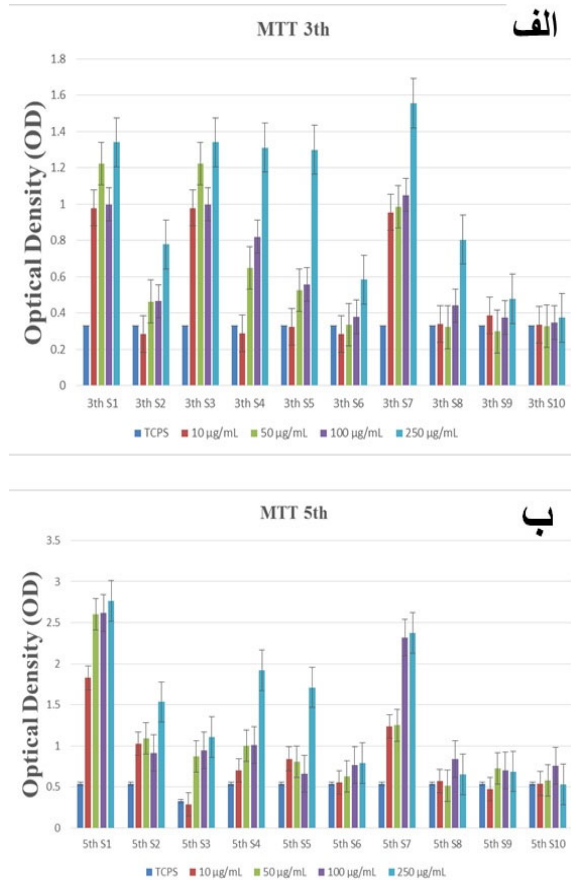


شکل ۸. مهار ادیکال آزاد به کمک .DPPH

نتایج فعالیت ضداسیدانی تمامی نمونه بالا است که موید تحقیقات پژوهشگران دیگر است (۴۱، ۴۰).



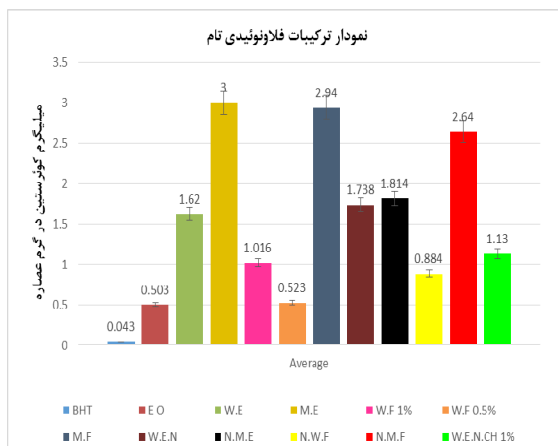
شکل ۶. نمودار ترکیبات فنولی تام بر اساس اسید گالیک.



شکل ۹. تست MTT (الف) روز سوم و (ب) روز پنجم نمونه ها.

نتیجه گیری

نانومولسیون با توجه به خواص و مزایا منحصر به فرد برای بهبود افزایش ارزش زیستی پتانسیل کاربردی گستردگی و بالقوه دارد. در تحقیق حاضر نانومولسیون روغن در آب انسانس و عصاره پونه با روش ساده و سریع تهیه شد. فعالیت ضدبacterی،



شکل ۷. نمودار ترکیبات فنولی تام بر اساس کوئرستین.

سمیت سلولی

نتایج سمیت سلولی در شکل ۹ نشان داده شده است. توجه به نتایج سمیت سلولی در روزهای سوم و پنجم، نمونه ها نه تنها خاصیت سمی بودن برای سلول های سالم را ندارند بلکه افزایش غلظت هر یک از نمونه ها موجب افزایش میزان تکثیر سلول ها می شوند. از این رو استفاده از انسانس، عصاره و نانومولسیون های حاوی انسانس و عصاره گیاه پونه می تواند موجب رشد افسار گسیخته سلول های سلطانی شوند، این در حالی است که این ترکیبات تاثیر منفی روی سلول های سالم موردن بررسی در این آزمایش نداشته است.

خوب نمونه‌ها به دلیل وجود ترکیبات فنلی و فلاونوئیدی در ضد اکسیدان‌ها بر پایه گیاه گزارش شد. عدم سمتی سلولی روی سلول‌های فیبروبلاست جنینی موش در غلظت‌های مورد استفاده برای سلول‌های سالم مشاهده شد. بر اساس نتایج نانومولسیون حاوی پونه به دلیل خواص درمانی می‌تواند چشم انداز آینده گسترش تحقیقات در صنایع مختلف مانند پزشکی، دارویی، غذایی، و آرایشی و بهداشتی را بیش از گذشته نشان دهد.

و فعالیت ضد اکسیدانی، و سمتی سلولی نمونه‌ها بررسی شد. نمونه‌ها براساس نتایج DLS توزیع اندازه باریک و TEM نانوذرات کروی شکل هستند و نمونه بهینه شامل ۸ درصد اسانس و ۴ درصد سورفکتانت و ۸۸ درصد عصاره می‌باشد. فعالیت ضد باکتریایی علیه باکتری گرم منفی /شرشیاکلی و باکتری گرم مثبت استافیلوکوکوس اورئوس برای حداقل غلظت مهاری و حداقل غلظت کشنندگی به ترتیب ۵، ۱۰ و ۲۰ میکروگرم بر میلی‌لیتر است. فعالیت ضد اکسیدانی

REFERENCES

1. Kreilgaard M. Influence of microemulsions on cutaneous drug delivery. *Adv Drug Deliv Rev* 2002;54:S77-98.
2. Izquierdo P, Esquena J, Tadros TF, Dederen JC, Feng J, Garcia-Celma MJ, et al. Phase behavior and nano-emulsion formation by the phase inversion temperature method. *Langmuir* 2004;20:6594-8.
3. Guglielmini G. Nanostructured novel carrier for topical application. *Clin Dermatol* 2008;26:341-6.
4. Anton N, Benoit J.P, Saulnier P. Design and production of nanoparticles formulated from nano-emulsion templates: a review. *J Control Release*. 2008; 128:185–199.
5. Tadros T, Izquierdo P, Esquena J, Solans C. Formation and stability of nanoemulsions. *Colloid Interface Sci* 2004; 108:303–318.
6. Ee SL, Duan X, Liew J, Nguyen QD. Droplet size and stability of nanoemulsions produced by the temperature phase inversion method. *Chem Eng Sci* 2008; 140:626–631.
7. Lin C.C, Lin H.Y, Chen H.C, Yu M.W, Lee M.H, Stability and characterisation of phospholipid-based curcumin-encapsulated microemulsions. *Food Chemistry* 2009; 116:923–928.
8. Porras M, Solans C, Gonzales C, Martínez A, Guinart A, Gutierrez J.M. Studies of formation of W/O nano-emulsions. *Colloids Surf A* 2004; 249:115–118.
9. Sajjadi S. Formation of fine emulsions by emulsification at high viscosity or low interfacial tension: a comparative study. *Colloids Surf A* 2007; 299:73–78.
10. Al-Edresi S, Baie S. Formulation and stability of whitening VCO-in-water nano-cream. *Pharm Nanotechnol* 2009; 373:174-178.
11. Izquierdo P, Feng J, Esquena J, Tadros T.F, Dederen J.C, Garcia M.J, Azemar N, Solans C. The influence of surfactant mixing ratio on nano-emulsion formation by the pit method. *Colloid Interface Sci* 2005; 285:388–394.
12. Sole I, Maestro A, Gonzales C, Solans C, Gutierrez J.M. Optimization of nanoemulsion preparation by low-energy methods in an ionic surfactant system. *Langmuir* 2006; 22:8326–8332.
13. McClements DJ, Xiao H. Potential biological fate of ingested nanoemulsions: influence of particle characteristics. *Food Function* 2012; 3:202-220.
14. McClements D.J. Edible lipid nanoparticles: digestion, absorption, and potential toxicity. *Prog Lipid Res* 2013; 52:409-423.
15. Pinheiro A.C, Coimbra M.A, Vicente A.A. In vitro behaviour of curcumin nanoemulsions stabilized by biopolymer emulsifiers Effect of interfacial composition. *Food Hydrocoll* 2016; 52:460-467.
16. Motakef Kazemi N, Rashidian M, Taghizadeh Dabbagh S, Yaqoubi M. Synthesis and characterization of bismuth oxide nanoparticles by thermal decomposition of bismuth-based MOF and evaluation of its nanocomposite. *Iran J Chem Chem Eng* 2021; 40:11-19.
17. Adibzadeh P, Motakef Kazemi N. Preparation and characterization of curcumin-silver nanoparticle and evaluation of the effect of poly ethylene glycol and temperature. *J Nanoanalysis* 2018; 5:156-162.
18. Cowan M.M. Plant products as antimicrobial agents. *Clin Microb Rev* 1999; 12:564-582.
19. Hemaiswarya S, Kruthiventi A.K, Doble M. Synergism between natural products and antibiotics against infectious diseases. *Phytomed* 2008; 15:639-652.
20. Seow Y.X, Yeo C.R, Chung H.L, Yuk H.G. Plant essential oils as active antimicrobial agents. *Crit Rev Food Sci Nutr* 2014; 54:625–644.

21. Moghimi R, Ghaderi L, Rafati H, Aliahmadi A, McClements D.J. Superior antibacterial activity of nanoemulsion of *Thymus daenensis* essential oil against *E. coli*. *Food Chem* 2016; 194:410–415.
22. Donsì F, Ferrari G. Essential oil nanoemulsions as antimicrobial agents in food. *J Biotechnol* 2016; 233:106–120.
23. Semeniuc CA, Pop CR, Rotar AM. Antibacterial activity and interactions of plant essential oil combinations against Gram-positive and Gram-negative bacteria. *J Food Drug Anal* 2017; 25:403-408.
24. Kesselmeier J, Staudt M. Biogenic volatile organic compounds (VOC): An overview on emission, physiology and ecology. *J Atmos Chem* 1999; 33:23-88.
25. Salvia-Trujillo L, Rojas-Graü A, Soliva-Fortuny R, Martín-Belloso O. Physicochemical characterization and antimicrobial activity of food-grade emulsions and nanoemulsions incorporating essential oils. *Food Hydrocoll* 2015; 43:547-556.
26. Abdolmaleki A, Akram M, Saeed M, Asadi A, Kajkolah M. Herbal medicine as neuroprotective potential agent in human and animal models: a historical overview. *J Pharm Care* 2020; 8:75-82.
27. Polak P, Shefi O. Nanometric agents in the service of neuroscience: manipulation of neuronal growth and activity using nanoparticles. *Nanomed* 2015; 11:1467-1479.
28. Mau J.L, Lin H.C, Song S.F. Antioxidant properties of several specialty mushrooms. *Food Res In.* 2002; 35:519-526.
29. Bruna J, Peñaloza A, Guarda A, Rodríguez F, Galotto M. Development of MtCu²⁺/LDPE nanocomposites with antimicrobial activity for potential use in food packaging. *Appl Clay Sci* 2012; 58:79-87.
30. Miraj S, Kiani S. Study of pharmacological effect of *Mentha pulegium*: A review. *Der Pharmacia Lettre* 2016; 8:242-245.
31. Aires A, Marrinhas E, Carvalho R, Dias C, José Saavedra M. Phytochemical composition and antibacterial activity of hydroalcoholic extracts of *Pterospartum tridentatum* and *Mentha pulegium* against *Staphylococcus aureus* isolates. *BioMed Res Int* 2016; 2016:1.
32. Mimica-Dukic N, Popovic M, Jakovljevic V, Szabo A, Gašić O. Pharmacological studies of *Mentha longifolia* phenolic extracts. II. Hepatoprotective activity. *Pharm Biol* 1999; 37:221-224.
33. Baris O, Karadayi M, Yanmis D, Guvenalp Z, Bal T, Gulluce M. Isolation of 3 flavonoids from *Mentha longifolia* (L.) Hudson subsp. *longifolia* and determination of their genotoxic potentials by using the *E. coli* WP2 test system. *J Food Sci* 2011; 76:T212-217.
34. Langaroudi F, Motakef Kazemi N. Preparation and characterization of O/W nanoemulsion with Mint essential oil and Parsley aqueous extract and the presence effect of chitosan. *Nanomed Res J* 2019; 4:48-55.
35. Karimi E, Motakef Kazemi N. Preparation of O/W nanoemulsion containing saffron aqueous solution and sesame oil and evaluation of its properties. *Nanomed Res J* 2021; 6:112-116.
36. Liu J, Zhou H, Tan Y, Muriel Mundo J.L, Julian McClements D. Comparison of plant-based emulsifier performance in water-in-oil-in-water emulsions: Soy protein isolate, pectin and gum Arabic. *J Food Eng* 2021; 307: 110625.
37. Liu C, Pei R, Heinonen M. Faba bean protein: A promising plant-based emulsifier for improving physical and oxidative stabilities of oil-in-water emulsions. *Food Chem* 2022; 369: 130879.
38. Herrero A.M, Merino E, Muñoz-González I, Ruiz-Capillas C. Oil-in water vegetable emulsions with oat bran as meat raw material replacers: compositional, technological and structural approach. *Foods* 2023; 12: 40.
39. Wang X, Yu K, Cheng C, Peng D, Yu X, Chen H, et al. Effect of sesamol on the physical and chemical stability of plant-based flaxseed oil-in-water emulsions stabilized by proteins or phospholipids. *Food Funct* 2021; 12: 2090-2101.
40. Kamkar A, Shariatifar N, Jamshidi A, Jebelli Javan A, Sadeghi T, Zeaghām Monfared M. In vitro evaluation of antioxidant activity of Iranian *Mentha longifolia* essential oil and extracts. *J Med Plant* 2012; 1:185-194.
41. Kamkar A, Javan A.J, Asadi F, Kamalinejad M. The antioxidative effect of Iranian *Mentha pulegium* extracts and essential oil in sunflower oil. *Food Chem Tox* 2010; 48:1796-1800.